

01;03

## О двух режимах распространения взрывной волны в жидкости, содержащей пузырьки газа

© Е.Ю. Кумзерова, А.А. Шмидт

Физико-технический институт им. А.Ф. Иоффе РАН, С.-Петербург

E-mail: alexander.schmidt@mail.ioffe.ru

Поступило в Редакцию 30 октября 2005 г.

Рассматривается эволюция сферически-симметричного слоя двухфазной газожидкостной среды при воздействии взрывной волны. Продемонстрировано существование двух характерных режимов распространения волн в такой среде.

PACS: 47.10.-g

**Математическая модель пузырьковой среды.** Модель основана на лагранжево-эйлеровском подходе к описанию двухфазной среды. В рамках этого подхода эйлеровский этап алгоритма описывает течение несущей фазы (жидкости) в приближении многоскоростных континуумов, а лагранжев — эволюцию дисперсных включений (пузырей) с помощью модели пробных частиц.

В предположении отсутствия проскальзывания между фазами уравнения динамики одномерного движения несущей фазы в этом случае записываются в виде [1]:

$$\frac{\partial z}{\partial t} + \frac{\partial \mathbf{F}}{\partial x} = -f,$$

где  $z$  — вектор консервативных переменных,  $F$  — вектор потоков,  $f$  определяет тип симметрии (в данном случае сферическую симметрию):

$$z = \begin{bmatrix} (1-\alpha)\rho_l \\ (1-\alpha)\rho_l u \\ N_b \end{bmatrix}, \quad \mathbf{F} = \begin{bmatrix} (1-\alpha)\rho_l u \\ (1-\alpha)[\rho_l u^2 + p_l] \\ N_b u \end{bmatrix}, \quad f = \begin{bmatrix} \frac{2(1-\alpha)\rho_l u}{x} \\ \frac{2(1-\alpha)\rho_l u^2}{x} \\ \frac{2N_b u}{x} \end{bmatrix}.$$

Здесь  $\rho_l$ ,  $p_l$  — истинная плотность и давление жидкости,  $u$  — скорость смеси,  $\alpha$  — объемная доля газовой фазы,  $N_b$  — численная концентрация пузырей.

Эйлеровский этап дополняется уравнением состояния воды в форме Тейта, которое в рассматриваемом диапазоне параметров можно записать в виде

$$p_l = p_a K \left[ \left( \frac{\rho}{\rho_a} \right)^\beta - 1 \right] + p_a,$$

где  $p_a, \rho_a$  — давление и плотность воды при нормальных условиях,  $K = 3045$ ,  $\beta = 7.15$ .

Система обыкновенных дифференциальных уравнений лагранжева этапа, описывающих эволюцию пробного пузыря, включает уравнение движения межфазной границы пузыря (уравнение Рэлея–Лэмба) [1], а также уравнения сохранения массы и энергии внутри пузыря [2]:

$$R \frac{d^2 R}{dt^2} + \frac{3}{2} \left( \frac{dR}{dt} \right)^2 = \frac{1}{\rho_l} \left\{ p_g - p_l - \frac{2\Sigma}{R} - \frac{4\mu_l}{R} \frac{dR}{dt} \right\},$$

$$\frac{dp_g}{dt} = p_g \left( \frac{1}{T_g} \frac{dT_g}{dt} - \frac{3}{R} \frac{dR}{dt} \right),$$

$$\frac{dT_g}{dt} = -3 \frac{T_g}{R p_g} \left[ (\gamma_g - 1) \left( p_g + \frac{2\Sigma}{R} \right) \frac{dR}{dt} \right].$$

Здесь  $R$  — радиус пузырьков,  $p_g, T_g$  — давление и температура газа в пузырьках,  $\mu_l$  — вязкость жидкости,  $\Sigma$  — коэффициент поверхностного натяжения.

Еще одно необходимое замыкающее соотношение связывает содержание газовой фазы  $\alpha$ , концентрацию пузырьков  $N_b$  и их средний радиус  $R$ :

$$\alpha = \frac{4\pi}{3} R^3 N_b.$$

В начальный момент времени среда неподвижна, давление и температура жидкости и газа, концентрация пузырьков  $N_{b0}$  и их объемная доля  $\alpha_0$  считаются известными:

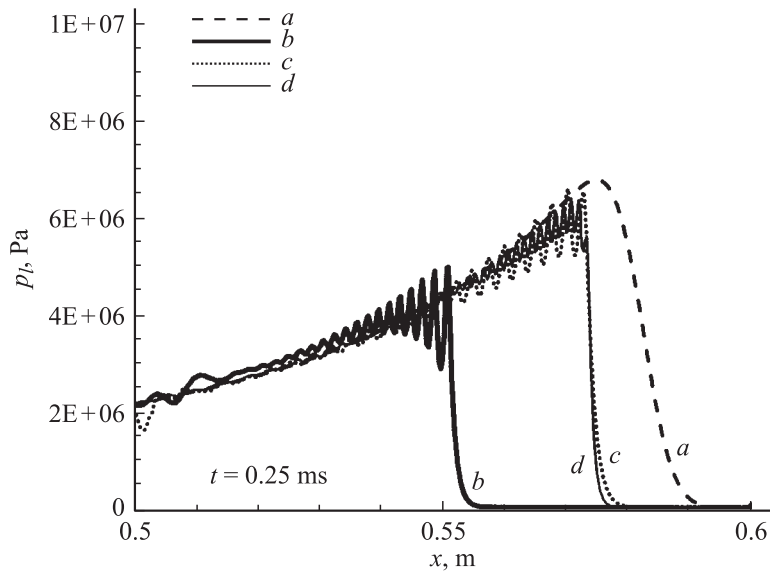
$$t = 0: \quad p_l = p_g = p_0, \quad T_l = T_g = T_{l0}, \quad \alpha = \alpha_0, \quad N_b = N_{b0}, \quad u = 0.$$

Левая и правая границы слоя представляют собой подвижные поверхности. На левой границе задается нестационарное давление, определяемое профилем падающей взрывной волны  $p_1 = p_{bw}(t)$ , на правой — атмосферное давление  $p_2 = p_a$ .

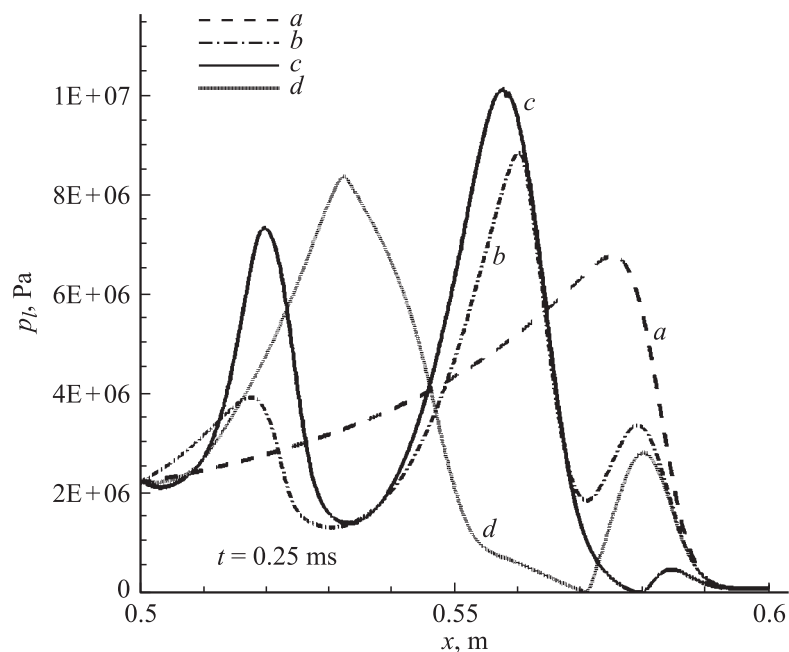
**Численный метод.** Для численного решения уравнений эйлера этапа использовалась явная схема высокого разрешения типа Годунова, обладающая на гладких решениях вторым порядком аппроксимации [3].

Наличие существенно различных линейных и временных масштабов в уравнениях лагранжева этапа делает эти уравнения жесткими, что требует применения специальных методов численного решения. В работе использовался многошаговый метод Гира [4].

**Распространение взрывной волны в конечном слое жидкости с пузырьками газа.** Исследовалось влияние дисперсной фазы на распространение взрывной волны в сферическом слое жидкости толщиной 0.1 м, в котором равномерно взвешены пузырьки газа. Размеры и содержание пузырей варьировались. Волна генерировалась взрывом 0.2 kg ТНТ в сферической полости радиусом 0.5 м, она моделировалась импульсом давления с амплитудой  $\sim 7 \cdot 10^6$  Pa, крутым передним фронтом  $\Delta\tau_1 < 10^{-5}$  s и экспоненциально спадающим задним —  $\Delta\tau_2 \sim 5 \cdot 10^{-4}$  s.



**Рис. 1.** Профиль давления поперек сферического слоя пузырьковой жидкости в момент времени  $t = 0.25$  ms при разных объемных содержаниях и размерах пузырьков:  $a$  — жидкость без пузырьков;  $b$  —  $R = 10^{-4}$  м,  $\alpha = 5 \cdot 10^{-3}$ ;  $c$  —  $R = 10^{-4}$  м,  $\alpha = 10^{-3}$ ;  $d$  —  $R = 5 \cdot 10^{-5}$  м,  $\alpha = 10^{-3}$ .



**Рис. 2.** Профиль давления поперек сферического слоя пузырьковой жидкости в момент времени  $t = 0.25$  ms при разных объемных содержаниях и размерах пузырьков:  $a$  — жидкость без пузырьков;  $b$  —  $R = 10^{-3}$  m,  $\alpha = 10^{-3}$ ;  $c$  —  $R = 10^{-3}$  m,  $\alpha = 5 \cdot 10^{-3}$ ;  $d$  —  $R = 2 \cdot 10^{-5}$  m,  $\alpha = 5 \cdot 10^{-3}$ .

На рис. 1 для среды с пузырьками радиусом  $10^{-4}$  и  $10^{-5}$  m представлены профили давления жидкости. Можно видеть, что скорость распространения волны в смеси меньше, чем скорость в чистой жидкости, и зависит лишь от объемного содержания дисперсной фазы. Характер колебаний давления определяется размером пузырьков (рис. 1, кривые  $c$  и  $d$ ). С уменьшением их радиуса уменьшаются амплитуда и период осцилляций давления, что определяется увеличением собственной частоты пузырьков.

Таким образом, для рассмотренного диапазона параметров объемное содержание дисперсной фазы влияет лишь на скорость распространения волны в пузырьковой среде, которая падает с увеличением  $\alpha$ .

Рис. 2 для относительно больших пузырьков ( $R \geq 10^{-3}$  м) демонстрирует распространение взрывной волны с предвестником и следующим за ним пакетом „переизлученных“ волн, которые „генерируются“ осцилляциями пузырьков. На возможность существования таких волн указывалось в монографиях [1,5]. Видно, что скорость распространения предвестника практически совпадает со скоростью волны в жидкости, а скорость распространения волнового пакета меньше. При этом, в отличие от рассмотренного выше режима, она зависит от начального размера дисперсных включений (рис. 2, кривые *c* и *d*) и не зависит от их объемного содержания (рис. 2, кривые *b* и *c*). Этот эффект связан с тем, что скорость распространения пакета „переизлученных“ волн определяется характерным временем пульсаций пузырьков, которое, в свою очередь, определяется их размером.

Таким образом, проведенные расчеты показали, что в зависимости от начального радиуса пузырьков существуют два качественно различающихся режима распространения взрывных волн в пузырьковых средах. Это представляет большой интерес не только для углубления понимания динамики волновых процессов в таких средах, в частности „пассивной“ (первый режим) и „активной“ (второй режим) роли дисперсной фазы, но и для решения целого ряда прикладных задач.

Работа выполнена при поддержке РФФИ, гранты № 05-01-00809, 05-08-33420.

## Список литературы

- [1] Нигматулин Р.И. Основы механики гетерогенных сред. М.: Наука, 1978. 335 с.
- [2] Maeno K., Koushi T., Sato H. // Proc. of the ISSW'21. Marcel, 1995 (on CD).
- [3] Родионов А.В. // ЖВМиМФ. 1987. Т. 27. № 3. С. 1853–1859.
- [4] Oran E.S., Boris J.P. Numerical simulation of reactive flows. Elsevier Science Publ., 1987. 655 p.
- [5] Кедринский В.К. Гидродинамика взрыва. Новосибирск: Изд-во СО РАН, 2000. 435 с.